

رَبِّ الْأَرْضَ

وزارت علوم، تحقیقات و فناوری



دانشگاه ملایر

دانشکده علوم پایه - گروه شیمی

پایان نامه کارشناسی ارشد شیمی (گرایش شیمی فیزیک)

مطالعه برهمکنش و جذب گاز هیدروژن بر روی نانوتیوب بورن نیترید همراه
با دوپینگ آرسنیک

به وسیله‌ی :

شبnum دارابی

استاد راهنمای :

دکتر مهدی رضایی صامتی

استاد مشاور:

دکتر اعظم شیری

۱۳۹۲ مهر

به نام خدا

مطالعه برهمکنش و جذب گاز هیدروژن بر روی نانوتیوب بورن نیترید همراه با دوپینگ آرسنیک

به وسیله‌ی:

شبنم دارابی

پایان نامه

ارائه شده به تحصیلات تکمیلی به عنوان بخشی
از فعالیت‌های لازم برای اخذ درجه کارشناسی ارشد

در رشته‌ی:

شیمی (گرایش شیمی فیزیک)

از دانشگاه ملایر

ارزیابی و تأیید شده توسط کمیته پایان نامه با درجه:

دکتر مهدی رضایی صامتی، دانشیار شیمی فیزیک (استاد راهنما).....

دکتر اعظم شیری، استادیار شیمی آلی (استاد مشاور).....

دکتر رعد چگل، استادیار فیزیک نانو اپتیک (استاد داور).....

دکتر مسعود رضوانی جلال، استادیار فیزیک نظری (استاد داور).....

دکتر داود اخضری، استادیار علوم مرتع (نماینده تحصیلات تکمیلی).....

۱۳۹۲ مهرماه

لعدیم

پدر خوب

مادر محترم

و

اسداد بزرگوارم

پاسکزاری و قدردانی

پروردگار اتو را پس می‌کویم که مراسمی مول اطاف بیکرانست قراردادی و دریچه‌های علم و معرفت را فرا رویم کشودی و داین سرمه ترین روزگاران بترین پیشیانم بودی. مرا بهتی چنان عطا کن که جزء خشودی و لعای توبه چیزی قلع نکردم.

اکنون که این پژوهش به لطف ایزدیکتاب پیان رسیده برخود لازم می‌دانم که از سرقدرشناسی پاسکزار بزرگوارانی باشم که همواره یاری ام کردند. از خانواده عزیزم که در نهادت دلوزی و محبت بترین مشوقم بودند صمیمانه مشکر می‌کنم.

پاسکزار استاد راهنمای ارجمند؛ جناب آقای دکتر محمدی رضایی صامتی که شاگردیشان برایم غنیمتی بود و مساعدت‌هایی ارزشده‌اشان سختی‌های مسیر را بر من هموار کرد.

از دوستان و همکلاس‌های عزیزم؛ خانم‌ها:

محبی عقوبی، نینا علی صفرزاده، فریده خواجه جشوغانی، عترت السادات دادف، رویارامی، مخصوصه فراهانی و سایر دوستان پاسکزارم.

نام: شبنم	نام خانوادگی دانشجو : دارابی
عنوان پایان نامه : مطالعه‌ی برهمکنش و جذب گاز هیدروژن بر روی نانو تیوب بورن نیترید همراه با دوپینگ آرسنیک	
استاد راهنما : دکتر مهدی رضایی صامتی	
استاد مشاور : دکتر اعظم شیری	
مقطع تحصیلی: کارشناسی ارشد دانشگاه ملایر-گروه: شیمی تاریخ فارغ التحصیلی : مهر ۱۳۹۲	رشته: شیمی گرایش: شیمی فیزیک
تعداد صفحات: ۱۰۲	
کلید واژه : نانولوله، بور نیترید، جایگزینی آرسنیک، جذب گاز هیدروژن، انرژی جذب، NMR LUMO ، HOMO ، NQR ویژگی‌های کوانتومی، انرژی گپ	

چکیده:

در این پژوهه ساختار نانو لوله‌های آرمچیر ($4\text{ }\mu\text{m}$) و ($5\text{ }\mu\text{m}$) و ($6\text{ }\mu\text{m}$) نانو لوله‌های زیگزاگ ($6\text{ }\mu\text{m}$) و ($8\text{ }\mu\text{m}$) و ($10\text{ }\mu\text{m}$) با دستور B3LYP/6-31G* بهینه شد. در بور نیتریدهای آرمچیر اتم آرسنیک جایگزین B و در بور نیترید زیگزاگ جایگزین B شده است. جذب گاز هیدروژن در چهار موقعیت مختلف، جذب از بیرون نانو لوله با زاویه های 0° و 90° درجه و جذب از داخل نانو لوله با زاویه های 0° و 90° درجه روی بور نیترید آرمچیر ($4\text{ }\mu\text{m}$) و زیگزاگ ($6\text{ }\mu\text{m}$) در حالت خالص و جایگزین شده با آرسنیک انجام شد. سپس پارامترهای NMR و LUMO و HOMO و NQR و انرژی جذب و ویژگی‌های کوانتومی و مقادیر طول و زاویه‌ی پیوند برای همه

ساختارهای خالص و جایگزین شده با آرسنیک محاسبه شد. نتایج به دست آمده از محاسبات عبارتند از: شعاع بزرگ اتم آرسنیک باعث افزایش طول پیوند و کاهش زاویه‌ی پیوند می‌شود اما جذب گاز تاثیری در این پارامترها ندارد. جذب در حالت خالص نسبت به حالت جایگزین شده با آرسنیک مساعدتر است. الکترون‌های والانس بیشتر آرسنیک باعث توزیع نامتقارن دانسیته‌ی ابر الکترونی می‌شوند و پارامترهای NMR را دستخوش تغییر می‌کنند. جایگزینی آرسنیک باعث کاهش پارامترهای NQR در بور نیترید آرمچیر و افزایش آن در بور نیترید زیگراگ شده است که نشان می‌دهد موقعیت‌های فعال در نانو لوله‌های آرمچیر کاهش و در زیگراگ افزایش یافته‌اند. در ساختارهای HOMO و LUMO موقعیت‌های نوکلئوفیلی در حالات خالص و جایگزین شده با آرسنیک روی اتم نیتروژن و موقعیت‌های الکتروفیلی در حالت خالص روی اتم‌های بور و پیوندهای بور-نیتروژن و در حالت جایگزینی روی اتم آرسنیک و پیوندهای بور-نیتروژن اطراف آن متراکم هستند. انرژی گپ در بور نیترید زیگراگ کمتر از بور نیترید های آرمچیر است که نشان می‌دهد رسانایی در این حالت بیشتر است

فهرست مطالب

عنوان.....	صفحه.....
فصل اول (مقدمه)	۲.....
۱-۱- تاریخچه نانوتکنولوژی در دنیا	۲.....
۱-۲- نانو چیست؟	۲.....
۱-۳- نانولوله‌های کربنی و روش‌های ساخت آنها	۲.....
۱-۴- روش‌های تولید نانو لوله کربنی	۸.....
۱-۴-۱- فرآیندهای تولید نانولوله های کربنی	۹.....
۱-۵- هیدروژن	۱۰.....
۱-۵-۱- تولید هیدروژن	۱۰.....
۱-۶- استفاده از نانولوله کربنی برای کاربرد هیدروژن	۱۱.....
۱-۷- نانولوله های بور نیترید	۱۲.....
۱-۷-۱- روش‌های تولید نانو لوله‌های بور نیترید	۱۴.....
۱-۸- شیمی محاسباتی	۱۶.....
فصل دوم: بررسی جایگزینی اتم آرسنیک بر روی اتم بور در نانو لوله بور نیترید آرمچیر (۴و۴)، (۵و۵) و (۶و۶)	۱۸.....
۱-۲- مقدمه	۱۹.....
۲-۲- پارامترهای ساختاری مدل‌های آرمچیر نانولوله بور نیترید (۴و۴)، (۵و۵) و (۶و۶)	۱۹.....
۲-۲-۱- پارامترهای طول پیوند و زاویه پیوند نانولوله آرمچیر (۴و۴) بور نیترید	۱۹.....
۲-۲-۲- پارامترهای طول پیوند و زاویه پیوند نانولوله بور نیترید (۵و۵)	۲۱.....
۲-۲-۳- پارامترهای طول پیوند و زاویه پیوند نانولوله بور نیترید (۶و۶)	۲۲.....
۳-۲- ساختارهای هومو-لومو نانولوله های بور نیترید (۴و۴)، (۵و۵) و (۶و۶)	۲۴.....

۱-۳-۲	- اوربیتال‌های هومو-لومو نانولوله بورنیترید (۴۰۴)	۲۴
۲-۳-۲	- اوربیتال‌های هومو-لومو نانولوله بورنیترید (۵۰۵)	۲۶
۳-۳-۲	- اوربیتال‌های هومو-لومو نانولوله بورنیترید (۶۰۶)	۲۷
۴-۲	- بررسی ویژگی‌های کوانتمی نانولوله‌های بورنیترید آرمچیر حالت‌های (۴۰۴)، (۵۰۵) و (۶۰۶)	۲۹
۵-۲	- پارامترهای NMR هسته‌های ^{11}B و ^{15}N نانولوله‌های بورنیترید آرمچیر (۴۰۴)، (۵۰۵) و (۶۰۶)	۳۳
۱-۵-۲	- پارامترهای NMR هسته‌های ^{11}B و ^{15}N نانو لوله آرمچیر (۴۰۴)	۳۳
۲-۵-۲	- پارامترهای NMR هسته‌های ^{11}B و ^{15}N نانو لوله آرمچیر (۵۰۵)	۳۵
۳-۵-۲	- پارامترهای NMR هسته‌های ^{11}B و ^{15}N نانو لوله آرمچیر (۶۰۶)	۳۶
۴-۲	- بررسی پارامترهای NQR هسته‌های ^{11}B و ^{15}N نانو لوله‌های بورنیترید (۴۰۴)، (۵۰۵) و (۶۰۶)	۳۷
۱-۳	فصل سوم: بررسی جایگزینی اتم آرسنیک بر روی اتم بور در نانو لوله بورنیترید زیگزاگ (۰۶۰)، (۰۸۰)، (۰۱۰)	۴۱
۲-۳	- مقدمه	۴۲
۲-۳	- بررسی طول پیوند و زاویه پیوند نانولوله‌های زیگزاگ (۰۶۰)، (۰۸۰)، (۰۱۰)	۴۲
۱-۲-۳	- بررسی طول پیوند و زاویه پیوند نانولوله (۰۶۰)، (۰۸۰)، (۰۱۰)	۴۲
۳-۳	- ساختارهای هومو-لومو نانولوله‌های بورنیترید زیگزاگ (۰۶۰)، (۰۸۰)، (۰۱۰)	۴۷
۱-۳-۳	- بررسی هومو-لومو نانولوله بورنیترید (۰۶۰)	۴۷
۲-۳-۳	- بررسی ساختارهای هومو-لومو نانو لوله بورنیترید (۰۸۰)	۴۹
۳-۳-۳	- بررسی ساختارهای هومو-لومو نانولوله بورنیترید (۰۱۰)	۴۹
۴-۳	- بررسی ویژگی‌های کوانتمی نانولوله‌های زیگزاگ (۰۶۰)، (۰۸۰) و (۰۱۰)	۵۱
۵-۳	- بررسی پارامترهای NMR هسته‌های ^{11}B و ^{15}N نانو لوله بورنیترید حالت‌های زیگزاگ (۰۶۰)، (۰۸۰) و (۰۱۰)	۵۴
۱-۵-۳	- بررسی پارامترهای NMR هسته‌های ^{11}B و ^{15}N نانو لوله بورنیترید زیگزاگ (۰۶۰)	۵۴
۲-۵-۳	- پارامترهای NMR هسته‌های ^{11}B و ^{15}N نانو لوله بورنیترید زیگزاگ (۰۸۰)	۵۵

۳-۵-۳- پارامترهای NMR هسته‌های B^{11} و N^{15} نانو لوله بور نیترید زیگزاگ (۰۰ و ۱۰) ۵۶
۶-۲- بررسی پارامترهای NQR هسته‌های B^{11} و N^{15} نانولوله بور نیترید (۰۰ و ۰۸) (۰۰ و ۱۰) ۵۷
فصل چهارم: بررسی برهمکنش و جذب مولکول هیدروژن بر سطح نانو لوله بور نیترید (۰۰ و ۰۴) (۰۰ و ۰۶)
۱-۱- مقدمه ۶۰
۲-۱- حالت‌های مختلف برهمکنش هیدروژن بر روی سطح نانولوله ۶۰
۳-۱- بررسی طول پیوند و زاویه پیوند برهمکنش H_2 با نانولوله‌های (۰۰ و ۰۶) (۰۰ و ۰۴) ۶۰
۳-۲- طول پیوند و زاویه پیوند حالت‌های جذب با سطح نانولوله (۰۰ و ۰۴) آرمچیر بور نیترید ۶۰
۳-۳- بررسی طول پیوند و زاویه پیوند برهمکنش هیدروژن با سطح نانولوله بور نیترید (۰۰ و ۰۶) ۶۶
۴-۱- بررسی اثری جذب برهمکنش گاز هیدروژن با سطح نانولوله‌های بور نیترید (۰۰ و ۰۶) ۷۱
۴-۲- محاسبه اثری جذب ۷۲
۴-۳- محاسبه اثری جذب برهمکنش هیدروژن با سطح نانولوله بور نیترید (۰۰ و ۰۴) ۷۲
۴-۴- محاسبه اثری جذب برهمکنش گاز هیدروژن با سطح نانولوله بور نیترید (۰۰ و ۰۶) ۷۳
۴-۵- ساختارهای هومو-لومو حالت‌های برهمکنش هیدروژن با سطح نانولوله‌های (۰۰ و ۰۶) ۷۵
۴-۶-۱- بررسی ساختارهای هومو-لومو برهمکنش گاز هیدروژن با سطح نانولوله بور نیترید (۰۰ و ۰۶) ۷۵
۴-۶-۲- بررسی ساختارهای هومو-لومو برهمکنش گاز هیدروژن با سطح نانولوله بور نیترید (۰۰ و ۰۶) ۷۹
۴-۶-۳- تعیین پارامترهای کوانتمویی مولکولی نانولوله‌های بور نیترید (۰۰ و ۰۶) ۸۵
۴-۶-۴- محاسبه ویژگی‌های کوانتمویی حالت‌های برهمکنش هیدروژن با سطح نانولوله بور نیترید (۰۰ و ۰۶) ۸۵
۴-۶-۵- محاسبه ویژگی‌های کوانتمویی حالت‌های برهمکنش هیدروژن با سطح نانولوله بور نیترید (۰۰ و ۰۶) ۸۷
۴-۷-۱- پارامترهای NMR حالت‌های برهمکنش هیدروژن با سطح نانولوله‌های بور نیترید (۰۰ و ۰۶) ۸۹
۴-۷-۲- بررسی پارامترهای NMR حالت‌های برهمکنش با سطح نانولوله (۰۰ و ۰۶) ۹۰
۴-۷-۳- حالت (A) ۹۰

۹۱	۴-۷-۲-۱-۲-حالت (B).....
۹۲	۴-۷-۳-۱-۷-حالت (C).....
۹۳	۴-۷-۴-۱-۷-حالت (D).....
۹۳	۴-۷-۲-بررسی پارامترهای NMR حالت‌های برهمکنش هیدروژن با سطح نانو لوله (۶۰و۴)
۹۳	۴-۷-۲-۱-بررسی حالت‌های (A) و (B)
۹۵	۴-۷-۲-۲-بررسی حالت‌های (C) و (D)
۹۶	۴-۸-پارامترهای NQR حالت‌های برهمکنش گاز هیدروژن با سطح نانولوله بور نیترید(۶۰و۴) و (۶۰و۴)
۹۶	۴-۸-۱-بررسی پارامترهای NQR نانو لوله بور نیترید حالت (۶۰و۴).....
۹۸	۴-۸-۲-بررسی پارامترهای NQR نانو لوله بور نیترید حالت (۶۰و۴).....
۹۹	۴-۹-نتیجه گیری.....
۱۰۰	منابع

فهرست شکل‌ها

عنوان.....	صفحه.
شکل ۱-۱- صورت های مختلف کربن در طبیعت	۴
شکل ۱-۲- سه روش اصلی متصل شدن ورقه گرافن.....	۵
شکل ۱-۳- ساختار حالت زیگزاگ.....	۶
شکل ۱-۴- ساختار حالت آرمچیر.....	۶
شکل ۱-۵- ساختار حالت کایرال.....	۷
شکل ۱-۶- شبیه سازی مونت کارلو ذخیره سازی هیدروژن بر روی نانولوله ها.....	۱۲
شکل ۱-۷- ساختار نمادگذاری شده حالت خالص و حالت جایگزین (۴و۴)	۲۰
شکل ۱-۸- ساختار نمادگذاری شده حالت خالص و حالت جایگزین (۵و۵).....	۲۱
شکل ۱-۹- ساختار نمادگذاری شده حالت خالص و حالت جایگزین (۶و۶)	۲۳
شکل ۱-۱۰- اوربیتال هومو و لومو حالت خالص و حالت جایگزین شده (۴و۴).....	۲۵
شکل ۱-۱۱- اوربیتال هومو و لومو حالت خالص و حالت جایگزین شده (۵و۵).....	۲۷
شکل ۱-۱۲- اوربیتال هومو و لومو حالت خالص و حالت جایگزین شده (۶و۶).....	۲۸
شکل ۱-۱۳- ساختار نمادگذاری بهینه شده حالت خالص و حالت جایگزین (۶و۶).....	۴۳
شکل ۱-۱۴- ساختار نمادگذاری شده حالت خالص و حالت جایگزین (۸و۸).....	۴۴
شکل ۱-۱۵- ساختار نمادگذاری شده حالت خالص و حالت جایگزین شده (۱۰و۱۰).....	۴۶
شکل ۱-۱۶- ساختار بهینه شده اوربیتال هومو و لومو برای حالت خالص و حالت جایگزین شده نانو لوله بور نیترید (۶و۶) زیگزاگ.....	۴۸

- شکل ۵-۳**- ساختار بهینه شده اوربیتال هومو و لومو برای حالت خالص و حالت جایگزین شده نانو لوله بور نیترید (۰۸و) زیگزاگ.....
۵۰
- شکل ۶-۳**- ساختار بهینه شده اوربیتال هومو و لومو برای حالت خالص و حالت جایگزین شده نانو لوله بور نیترید (۰۸و)
زیگزاگ.....
۵۱
- شکل ۷-۴**- ساختار نمادگذاری شده حالت خالص و حالت حالت جایگزین شده (۰۴و).....
۶۱
- شکل ۸-۴**- جذب مولکول هیدروژن با زوایای مختلف روی ساختار آرمچیر (۰۴و) در حالت خالص.....
۶۲
- شکل ۹-۴**- جذب مولکول هیدروژن با زوایای مختلف روی ساختار آرمچیر (۰۴و) در حالت جایگزین شده
۶۴
- شکل ۱۰-۴**- ساختار نمادگذاری شده حالت خالص و حالت جایگزین شده (۰۶و).....
۶۶
- شکل ۱۱-۴**- جذب مولکول هیدروژن با زوایای مختلف روی ساختار زیگزاگ (۰۶و) در حالت خالص.....
۶۸
- شکل ۱۲-۴**- جذب مولکول هیدروژن با زوایای مختلف روی ساختار زیگزاگ (۰۶و) در حالت خالص.....
۶۹
- شکل ۱۳-۴**- اوربیتال هومو و اوربیتال لومو حالت خالص و حالت جایگزین شده(۰۴و).....
۷۵
- شکل ۱۴-۴**- اوربیتال هومو و لومو مدل A حالت خالص و جایگزین شده (۰۴و).....
۷۶
- شکل ۱۵-۴**- اوربیتال هومو و لومو مدل B حالت خالص و جایگزین شده (۰۴و).....
۷۷
- شکل ۱۶-۴**- اوربیتال هومو و لومو مدل C حالت خالص و جایگزین شده (۰۴و).....
۷۷
- شکل ۱۷-۴**- اوربیتال هومو و لومو مدل D حالت خالص و جایگزین شده (۰۴و).....
۷۸
- شکل ۱۸-۴**- اوربیتال هومو و لومو حالت خالص و جایگزین شده (۰۶و).....
۸۰
- شکل ۱۹-۴**- اوربیتال هومو و لومو حالت خالص و جایگزین شده مدل A (۰۶و).....
۸۱
- شکل ۲۰-۴**- اوربیتال هومو و لومو حالت خالص و جایگزین شده مدل B (۰۶و).....
۸۲
- شکل ۲۱-۴**- اوربیتال هومو و لومو حالت خالص و جایگزین شده مدل C (۰۶و).....
۸۳
- شکل ۲۲-۴**- اوربیتال هومو و لومو حالت خالص و جایگزین شده مدل D (۰۶و).....
۸۴

فهرست جداول

عنوان	صفحة
جدول ۱-۱ - دسته های مختلف نانولوله های کربنی بر اساس کایرالیتی.....	۷
جدول ۱-۲ - پارامترهای ساختارهای بهینه شده نانولوله بورنیترید حالت خالص (۴و۴) و حالت جایگزین شده با آرسنیک.....	۲۰
جدول ۲-۱ - پارامترهای ساختارهای بهینه شده نانولوله بورنیترید حالت خالص (۵و۵) و مدل جایگزین شده با آرسنیک.....	۲۲
جدول ۲-۲ - پارامترهای ساختارهای بهینه شده نانولوله بورنیترید حالت خالص (۶و۶) و مدل جایگزین شده با آرسنیک.....	۲۳
جدول ۲-۳ - پارامترهای ساختارهای بهینه شده نانولوله بورنیترید حالت خالص (۶و۶) و مدل جایگزین شده با آرسنیک.....	۲۴
جدول ۲-۴ - ویژگی های کوانتمومی مدل های آرمچیر (۴و۴)،(۵و۵) و (۶و۶).....	۳۱
جدول ۲-۵ - پارامترهای NMR هسته های B^{11} و N^{15} در نانولوله آرمچیر (۴،۴) بور نیترید.....	۳۵
جدول ۲-۶ - پارامترهای NMR هسته های B^{11} و N^{15} در نانولوله آرمچیر (۵،۵) بور نیترید.....	۳۶
جدول ۲-۷ - پارامترهای NMR هسته های B^{11} و N^{15} در نانولوله آرمچیر (۶،۶) بور نیترید.....	۳۷
جدول ۲-۸ - پارامترهای NQR هسته های B^{11} و N^{15} در نانولوله آرمچیر (۴،۴) بور نیترید.....	۳۹
جدول ۲-۹ - پارامترهای NQR هسته های B^{11} و N^{15} در نانولوله آرمچیر (۵،۵) بور نیترید.....	۴۰
جدول ۲-۱۰ - پارامترهای NQR هسته های B^{11} و N^{15} در نانولوله آرمچیر (۶،۶) بور نیترید.....	۴۰
جدول ۳-۱ - طول پیوند و زاویه پیوند نانولوله بورنیترید (۶و۶).....	۴۳
جدول ۳-۲ - طول پیوند و زاویه پیوند نانولوله بورنیترید (۸و۸).....	۴۵
جدول ۳-۳ - طول پیوند و زاویه پیوند نانولوله بورنیترید (۱۰و۱۰).....	۴۶
جدول ۳-۴ - ویژگی های کوانتمومی نانولوله های بور نیترید حالت زیگزاگ.....	۵۲
جدول ۳-۵ - پارامترهای NMR هسته های B^{11} و N^{15} در نانولوله زیگزاگ (۶۰) بور نیترید.....	۵۴
جدول ۳-۶ - پارامترهای NMR هسته های B^{11} و N^{15} در نانولوله زیگزاگ (۸،۰) بور نیترید.....	۵۶

جدول ۸-۳- پارامترهای NMR هسته های B^{11} و N^{15} در نانو لوله زیگزاگ (۱۰۰) بور نیترید.....	۵۷
جدول ۹-۳- پارامترهای NQR هسته های B^{11} و N^{15} در نانو لوله زیگزاگ بور نیترید.....	۵۸
جدول ۱-۴- طول پیوند و زاویه پیوند برهمکنش هیدروژن با سطح نانو لوله حالت خالص (۴۰۴).....	۶۴
جدول ۲-۴- طول پیوند و زاویه پیوند برهمکنش هیدروژن با سطح نانو لوله حالت جایگزین شده (۴۰۴).....	۶۵
جدول ۳-۴- طول پیوند و زاویه پیوند برهمکنش هیدروژن با سطح نانو لوله حالت خالص (۰۶۰).....	۷۰
جدول ۴-۴- طول پیوند و زاویه پیوند برهمکنش هیدروژن با سطح نانو لوله حالت جایگزین (۰۶۰).....	۷۱
جدول ۴-۵- انرژی جذب برهمکنش هیدروژن با سطح نانو لوله خالص و جایگزین شده (۴۰۴)	۷۳
جدول ۴-۶- انرژی جذب برهمکنش هیدروژن با سطح نانو لوله خالص و جایگزین شده (۰۶۰)	۷۴
جدول ۴-۷- ویژگی های کوانتمی مدل های (۰۴۰) حالت خالص	۸۵
جدول ۴-۸- ویژگی های کوانتمی مدل های (۰۴۰) حالت جایگزین شده با As	۸۶
جدول ۴-۹- ویژگی های کوانتمی مدل های (۰۶۰) حالت خالص	۸۸
جدول ۴-۱۰- ویژگی های کوانتمی مدل های (۰۶۰) حالت جایگزین	۸۸
جدول ۱۱-۴- پارامترهای NMR هسته های B^{11} و N^{15} در نانو لوله آرمچیر (۴،۴) بور نیترید حالت(A)	۹۰
جدول ۱۲-۴- پارامترهای NMR هسته های B^{11} و N^{15} در نانو لوله آرمچیر (۴،۴) بور نیترید حالت(B)	۹۱
جدول ۱۳-۴- پارامترهای NMR هسته های B^{11} و N^{15} در نانو لوله آرمچیر (۴،۴) بور نیترید حالت(C)	۹۲
جدول ۱۴-۴- پارامترهای NMR هسته های B^{11} و N^{15} در نانو لوله آرمچیر (۴،۴) بور نیترید حالت(D)	۹۳
جدول ۱۵-۴- پارامترهای NMR هسته های B^{11} و N^{15} در نانو لوله زیگزاگ (۰۶۰) بور نیترید حالت(A)	۹۴
جدول ۱۶-۴- پارامترهای NMR هسته های B^{11} و N^{15} در نانو لوله زیگزاگ (۰۶۰) بور نیترید حالت (B)	۹۴
جدول ۱۷-۴- پارامترهای NMR هسته های B^{11} و N^{15} در نانو لوله زیگزاگ (۰۶۰) بور نیترید حالت (C)	۹۵
جدول ۱۸-۴- پارامترهای NMR هسته های B^{11} و N^{15} در نانو لوله زیگزاگ (۰۶۰) بور نیترید. حالت (D)	۹۵
جدول ۱۹-۴- پارامترهای NQR هسته های B^{11} و N^{15} در نانو لوله بور نیترید (۰۴۰) حالت خالص	۹۶

جدول ۴-۲۰- پارامترهای NQR هسته های B^{11} و N^{15} در نانو لوله بور نیترید (۴و۴) حالت جایگزین ۹۷

جدول ۴-۲۱- پارامترهای NQR هسته های B^{11} و N^{15} در نانو لوله بور نیترید (۶و۰) حالت خالص ۹۸

جدول ۴-۲۲- پارامترهای NQR هسته های B^{11} و N^{15} در نانو لوله بور نیترید (۰و۶) حالت جایگزین ۹۸

فصل اول

مقدمہ

مقدمه

۱-۱-تاریخچه نانوتکنولوژی^۱ در دنیا

در طول تاریخ بشر از زمان یونان باستان، مردم و به خصوص دانشمندان آن دوره بر این باور بودند که می‌توان مواد را آن قدر به اجزاء کوچک تقسیم کرد تا به ذراتی رسید که خرد ناشدنی هستند و این ذرات بنیان مواد را تشکیل می‌دهند. شاید بتوان دموکریتوس فیلسوف یونانی را پدر فناوری و علوم نانو دانست چرا که در حدود ۴۰۰ سال قبل از میلاد مسیح او اولین کسی بود که واژه اتم را که در زبان یونانی به معنی تقسیم نشدنی است برای توصیف ذرات سازنده مواد به کار برد. در سال ۱۹۵۹ ریچارد فاینمن مقاله‌ای را درباره قابلیت‌های فناوری نانو در آینده منتشر ساخت. با وجود موقعیت‌هایی که توسط بسیاری تا آن زمان کسب شده بود ریچارد بی فاینمن را به عنوان پایه گذار این علم می‌شناسند.

۱-۲-نانو چیست؟

نانو تکنولوژی در ترجمه لفظ به معنی تکنولوژی بسیار کوچک (نانو، به معنی بسیار کوچک، مقیاس^۹-۱۰ کوچکتر) می‌باشد. نانو تکنولوژی، فن آوری تغییر در خواص مولکول‌های تشکیل دهنده مواد است و به همین دلیل مقیاس نانو بهترین تعریف برای تکنولوژی می‌باشد.

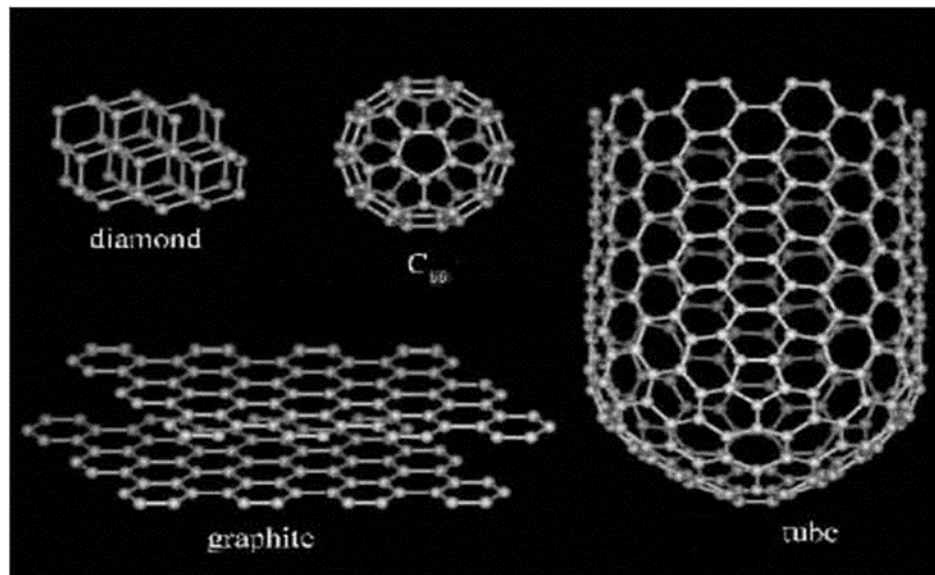
۱-۳-نانولله‌های کربنی و روش‌های ساخت آنها

^۱Nano technology

• نانو لوله‌های کربنی

یکی از اکتشافات بزرگ مربوط به نانو تکنولوژی، کشف نانو لوله^۱ است. نانو لوله‌ها صفحاتی از اتم‌های کربن هستند که درون قسمتی غلطک مانند حرکت می‌کنند و در ظاهر شبیه توری‌های سیمی هستند که بر روی یک سمت آن‌ها پوششی قرار گرفته باشد. نانولوله کربن، لوله کربنی تو خالی است. نانو لوله‌های کربنی از منابع کربنی مانند گرافیت یا گازهای هیدروکربنی به وسیله روش‌های مختلف تولید می‌شوند. این مواد به علت داشتن خواصی مانند سطح ویژه زیاد ($700-1000\text{m}^2/\text{gr}$)، استحکام زیاد و خصوصیات الکتریکی و الکترونیکی استثنایی موارد کاربرد زیادی از جمله استفاده به عنوان پایه کاتالیست، تقویت مکانیکی پلیمرها و کمپوزیت‌ها و ساخت قطعات الکترونیکی دارند. آنها ۱۰ برابر از فولاد محکم‌ترند در حالی که وزنشان یک ششم وزن فولاد است. این امتیاز باعث شده است که آن‌ها اولین انتخاب برای ساختن پل‌ها، هوایپیماها و حتی سفینه‌های فضایی باشند. خواص ویژه و منحصر به فرد آن از جمله مدول یانگ بالا و استحکام کششی خوب و ماهیت کربن مانند وزن کم، پایداری بالا جهت انجام فرایندها و نسبت به فلزات ارزان‌تر بودن آن باعث شده شاهد تحقیقات مهمی در روش‌های رشد نانولوله‌ها باشیم. نانو لوله‌ها از فولاد سخت‌تر، از آلومینیوم سبک‌تر و از مس ضریب هدایت بیشتری داشته و نیمه‌هادی کربن یکی از عناصر شگفت‌انگیز طبیعت است که به چهار صورت مختلف در طبیعت یافت می‌شود. همه این چهار شکل، جامد هستند و در ساختار آن‌ها اتم‌های کربن به صورت کاملاً منظم در کنار یکدیگر قرار گرفته‌اند. این چهار ماده عبارتند از: گرافیت، الماس، نانولوله‌ها و باکی بال‌ها.(شکل ۱-۱)

^۱ Nanotube



شکل(۱-۱) صورت های مختلف کربن در طبیعت

هریک از نانولوله‌ها دارای خواص ویژه‌ای هستند که در زیر چند ویژگی مشترک آنها را بررسی می‌کنیم:

۱-خواص مکانیکی

نانولوله‌ها دارای پیوندهای محکمی در بین اتم‌هایشان می‌باشند و به همین علت در برابر نیروهای کششی مقاومت و استحکام زیادی از خود نشان می‌دهند.

۲-خواص فیزیکی

مهم‌ترین خاصیت فیزیکی نانولوله‌ها، «هدایت الکتریکی» آنهاست. هدایت الکتریکی نانولوله‌ها بسته به زاویه و نوع پیوندها، از دسته‌ای به دسته دیگر کاملاً متفاوت است؛ هر اتم در جایگاه خود در حال ارتعاش است، وقتی که یک الکترون (یا بار الکتریکی) وارد مجموعه‌ای از اتم‌ها می‌شود، ارتعاش اتم‌ها بیشتر شده و در اثر برخورد با یکدیگر بار الکتریکی وارد شده را انتقال می‌دهند.

- انواع مختلف نانولوله‌ها